

# Fe<sup>0</sup>/PDS 降解 BP-9 的影响因素分析与风险评价

徐彬焜，彭明国，李志宏，沈一君，杜尔登  
(常州大学 环境与安全工程学院，江苏 常州 213164)

**摘要：**采用零价铁(Fe<sup>0</sup>)活化过硫酸钠(PDS)高级氧化技术降解水中典型二苯甲酮类防晒剂(BP-9)，评估各因素对BP-9去除率的影响。结果表明，Fe<sup>0</sup>/PDS工艺对BP-9有良好的去除效果，BP-9去除率随BP-9初始浓度的增加而减小，随PDS投量的增加而增大。Fe<sup>0</sup>的最佳投加量为0.5 mmol/L，酸性条件下Fe<sup>0</sup>/PDS工艺对BP-9的去除效果明显优于碱性条件，反应体系中Cl<sup>-</sup>、CO<sub>3</sub><sup>2-</sup>、HCO<sub>3</sub><sup>-</sup>、SO<sub>4</sub><sup>2-</sup>均能抑制BP-9的降解，且HCO<sub>3</sub><sup>-</sup>和CO<sub>3</sub><sup>2-</sup>的抑制效果最明显。生物毒性试验表明，Fe<sup>0</sup>/PDS工艺降解BP-9过程中，其毒性并未完全被去除，对生态环境构成潜在威胁。

**关键词：**Fe<sup>0</sup>/PDS工艺；二苯甲酮-9；影响因素；风险评价

**中图分类号：**TU993.3   **文献标识码：**C   **文章编号：**1000-4602(2018)19-0101-05

## Degradation of BP-9 by Fe<sup>0</sup>/PDS Process: Influencing Factors Analysis and Risk Assessment

XU Bin-kun, PENG Ming-guo, LI Zhi-hong, SHNE Yi-jun, DU Er-deng  
(School of Environmental & Safety Engineering, Changzhou University, Changzhou 213164, China)

**Abstract:** The typical organic sunscreen—benzophenone-9 (BP-9) in water was degraded by advanced oxidation technology of Fe<sup>0</sup>/PDS, and the effects of influencing factors on the removal rate of BP-9 were evaluated. The results showed that Fe<sup>0</sup>/PDS process had a good removal effect on BP-9. The removal rate of BP-9 decreased with the increase of the initial BP-9 concentration, and it increased with the increase of PDS dosage. The optimal dosage of Fe<sup>0</sup> was 0.5 mmol/L. The removal rate was higher in acidic condition than that in alkaline condition. The presence of Cl<sup>-</sup>, CO<sub>3</sub><sup>2-</sup>, HCO<sub>3</sub><sup>-</sup> and SO<sub>4</sub><sup>2-</sup> all inhibited the degradation of BP-9, and the inhibitory effects of HCO<sub>3</sub><sup>-</sup> and CO<sub>3</sub><sup>2-</sup> were the most significant. Biological toxicity experiment showed that the toxicity of BP-9 was not completely removed after its degradation by Fe<sup>0</sup>/PDS process, which posed a potential threat to the ecological environment.

**Key words:** Fe<sup>0</sup>/PDS process; benzophenone-9; influencing factor; risk assessment

二苯甲酮类紫外防晒剂具有良好的防晒效果，广泛应用于化妆品及个人护理用品中<sup>[1]</sup>，其通过生活污水排放、游泳等多种渠道进入环境介质中<sup>[2]</sup>。研究表明，此类化合物对内分泌系统具有明显的干扰效应，可对生态环境造成潜在危害<sup>[3]</sup>。近年来，

由于活化过硫酸盐高级氧化工艺中可产生硫酸根自由基(SO<sub>4</sub><sup>2-</sup>·)，其较高的氧化还原电位可以有效去除水体中的有机污染物，并具有工艺简单、条件温和等优点，引起了广大科研人员的关注。有研究人员采用Fe<sup>2+</sup>活化S<sub>2</sub>O<sub>8</sub><sup>2-</sup>，但发现Fe<sup>2+</sup>对污染物的降解

基金项目：国家水体污染控制与治理科技重大专项(2017X07202004)  
通信作者：彭明国 E-mail:pmg@cczu.edu.cn

效率低,且 $\text{Fe}^{2+}$ 会与 $\text{SO}_4^{\cdot -}$ 反应,因此试验过程中需严格控制 $\text{Fe}^{2+}$ 的投加量。而 $\text{Fe}^0$ 活化方式简单且降解率较高,可以在正常温度和压力下快速反应,是当前最为广泛的活化方式。Lee等<sup>[4]</sup>采用 $\text{Fe}^0/\text{PS}$ 溶液降解PFOA,降解率约为60%,比只添加PS溶液的降解率提高了近一倍。杨世迎等<sup>[5]</sup>在研究 $\text{Fe}^0/\text{PS}$ 工艺降解苯胺时发现,在 $\text{Fe}^0$ 填充量为60 g的条件下,苯胺的降解率高达84%。

二苯甲酮-9(BP-9)是一种典型的二苯甲酮(BPs)类有机化合物,笔者采用 $\text{Fe}^0/\text{PDS}$ 工艺处理含有BP-9的微污染水,分析PDS投加量、pH值、BP-9初始浓度、 $\text{Fe}^0$ 投加量和阴离子( $\text{Cl}^-$ 、 $\text{CO}_3^{2-}$ 、 $\text{HCO}_3^-$ 、 $\text{SO}_4^{2-}$ )对处理效果的影响,研究降解过程的一级反应动力学。另外,比较了单一PDS、单一 $\text{Fe}^0$ 及 $\text{Fe}^0/\text{PDS}$ 工艺对BP-9的降解效果,并评估 $\text{Fe}^0/\text{PDS}$ 工艺降解BP-9的生态风险,旨在为 $\text{Fe}^0/\text{PDS}$ 工艺的实际应用提供参考。

## 1 材料与方法

### 1.1 试验试剂

试验试剂:碳酸钠、盐酸、过硫酸钠( $\text{Na}_2\text{S}_2\text{O}_8$ )、零价铁(粒径为20~40  $\mu\text{m}$ ,比表面积约为5.2  $\text{m}^2/\text{g}$ )、氢氧化钠、碳酸氢钠、BP-9(分析纯)、甲醇(色谱纯)、超纯水。

### 1.2 试验方法

将一定浓度的BP-9溶液与PDS溶液加入烧杯中,按照比例投加一定质量的 $\text{Fe}^0$ 金属粉体,采用磁力搅拌器匀速搅拌。在12 min内每隔2 min取样1次,用0.45  $\mu\text{m}$ 玻璃纤维膜过滤后加入进样瓶中,并用50  $\mu\text{L}$ 甲醇中止反应,采用HPLC-MS/MS测定BP-9浓度。

### 1.3 分析方法

采用HPLC-MS/MS测定BP-9浓度。质谱条件:负离子模式,扫描模式为反应监测扫描(SRM), $m/z$ 为216.3/228.8;色谱条件:Waters Atlantis dC18色谱柱(3  $\mu\text{m}$ ,4.6 mm×100 mm),进样量为5.0  $\mu\text{L}$ ,柱温为30 °C,流速为1.5 mL/min,波长为254 nm,流动相为甲醇与水,采用梯度洗脱方式。

### 1.4 生态风险评估

选择费氏弧菌(*Vibrio fischeri*)作为典型发光细菌,在毒性测试前加入浓度为1 mol/L的 $\text{Na}_2\text{SO}_3$ 中

止反应,然后测定BP-9在降解过程中的毒性变化。试验采用生物毒性检测仪检测*Vibrio fischeri*在降解前后发光强度的变化,通过计算样品对发光细菌的抑制率来表示毒性大小。发光细菌发光强度的相对抑制率 $I$ 按式(1)计算。

$$I = \left( 1 - \frac{I_1}{I_0} \right) \times 100\% \quad (1)$$

式中, $I_1$ 为样品的发光强度; $I_0$ 为对照组的发光强度。

## 2 结果与讨论

### 2.1 工艺类型的影响

在BP-9浓度为5 mg/L、 $\text{Fe}^0$ 投加量为0.5 mmol/L、PDS浓度为1 mmol/L的条件下,分析单一 $\text{Fe}^0$ 、单一PDS和 $\text{Fe}^0/\text{PDS}$ 工艺降解BP-9的效果,结果如图1所示。

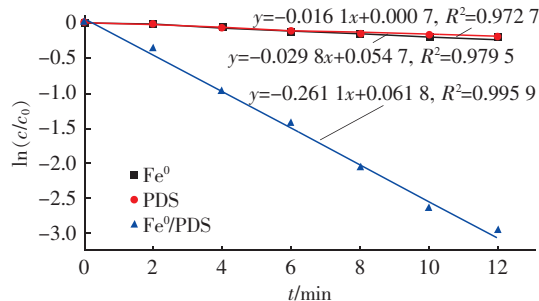


图1  $\text{Fe}^0$ 、PDS 和  $\text{Fe}^0/\text{PDS}$  工艺降解 BP-9 的反应速率

Fig. 1 First-order kinetics of BP-9 degradation

by  $\text{Fe}^0$ , PDS and  $\text{Fe}^0/\text{PDS}$

从图1可知,单一 $\text{Fe}^0$ 或单一PDS在12 min内对BP-9的去除率分别为9.2%和8.8%,说明单一 $\text{Fe}^0$ 或单一PDS难以去除BP-9。而 $\text{Fe}^0/\text{PDS}$ 工艺在12 min内对BP-9的去除率高达98.2%,去除效果明显升高。这是因为反应体系中的 $\text{Fe}^0$ 促进PDS产生了 $\text{SO}_4^{\cdot -}$ , $\text{SO}_4^{\cdot -}$ 具有较强的氧化能力,可以有效去除BP-9<sup>[6]</sup>。

此外,采用一级反应动力学拟合活化过硫酸盐反应,结果表明3种工艺降解BP-9的过程均符合一级反应动力学。单一 $\text{Fe}^0$ 和单一PDS的反应速率常数很低,分别为0.029 8和0.016 1  $\text{min}^{-1}$ ,而 $\text{Fe}^0/\text{PDS}$ 工艺对BP-9的降解反应速率常数为0.261 1  $\text{min}^{-1}$ ,反应速率常数明显增大,说明 $\text{Fe}^0/\text{PDS}$ 工艺大大加快了BP-9的降解。

### 2.2 BP-9 初始浓度的影响

在 $\text{Fe}^0$ 投加量为0.5 mmol/L、PDS浓度为1

mmol/L的条件下,分析BP-9初始浓度对降解效果的影响,结果见图2。可知,当BP-9的初始浓度为1 mg/L时,反应速率常数为1.357 4 min<sup>-1</sup>。在BP-9初始浓度从1 mg/L增至5 mg/L的过程中,反应速率常数逐渐减小,当初始浓度为5 mg/L时,反应速率常数为0.657 7 min<sup>-1</sup>。这是由于在不同反应体系中,Fe<sup>0</sup>与PDS产生的SO<sub>4</sub><sup>·-</sup>浓度基本相同,然而随着BP-9初始浓度的增加,单位体积内的BP-9与SO<sub>4</sub><sup>·-</sup>的反应竞争增强,产生的SO<sub>4</sub><sup>·-</sup>无法满足BP-9的需求,从而影响了BP-9的降解效果<sup>[7~9]</sup>。

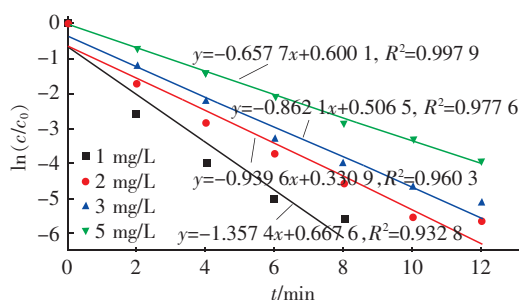


图2 BP-9初始浓度对其降解效果的影响

Fig. 2 Effect of initial BP-9 concentration on its degradation

### 2.3 PDS投加量的影响

在BP-9初始浓度为5 mg/L、Fe<sup>0</sup>投加量为0.5 mmol/L的条件下,分析PDS投加量对BP-9降解效果的影响,结果如图3所示。

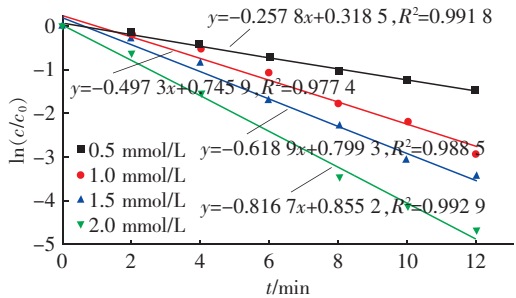


图3 PDS投加量对BP-9降解效果的影响

Fig. 3 Effect of PDS dosages on BP-9 degradation

由图3可知,当PDS投加量从0.5 mmol/L增加到2.0 mmol/L过程中,反应速率常数从0.257 8 min<sup>-1</sup>增加到0.816 7 min<sup>-1</sup>。这是因为随着PDS投量的增加,反应体系中产生了更多的SO<sub>4</sub><sup>·-</sup>,加快了反应的进行。同时发现,当PDS投加量超过1.5 mmol/L时,反应速率常数增幅明显变缓。研究表明,若PDS投加过量,则过量的S<sub>2</sub>O<sub>8</sub><sup>2-</sup>会与SO<sub>4</sub><sup>·-</sup>

反应而出现淬灭现象<sup>[10]</sup>,导致BP-9降解速率下降。在本试验中,并未出现反应速率常数随投量增加而下降的情况,说明PDS的投加量并未过量。

### 2.4 Fe<sup>0</sup>投加量的影响

在BP-9初始浓度为5 mg/L、PDS投加量为1 mmol/L条件下,分析Fe<sup>0</sup>投加量对BP-9降解效果的影响,结果如图4所示。

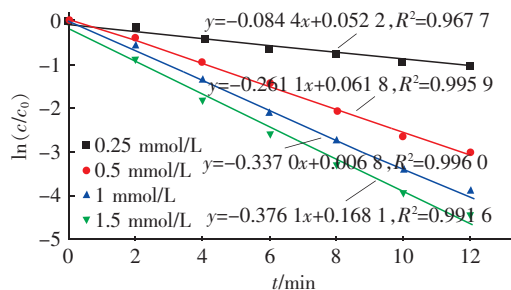


图4 Fe<sup>0</sup>投加量对BP-9降解效果的影响

Fig. 4 Effect of Fe<sup>0</sup> dosages on BP-9 degradation

由图4可知,当Fe<sup>0</sup>投加量为0.25、0.5、1、1.5 mmol/L时,反应速率常数分别为0.084 4、0.261 1、0.337 0、0.376 1 min<sup>-1</sup>。可以看出,反应速率常数随Fe<sup>0</sup>投量的增加而增大。但当Fe<sup>0</sup>投量超过0.5 mmol/L时,反应速率常数的增幅变小,这是由于随着反应的进行,释放出的Fe<sup>2+</sup>活化Na<sub>2</sub>S<sub>2</sub>O<sub>8</sub>达到饱和,过量的Fe<sup>2+</sup>会与产生的SO<sub>4</sub><sup>·-</sup>反应生成Fe<sup>3+</sup>。

试验过程中,采用邻二氮菲分光光度法测定体系中铁离子浓度,发现前期铁离子浓度增速较快,而后增速变缓,反应后期铁离子浓度为1~3 mg/L,这与Zhao等<sup>[11]</sup>在采用Fe<sup>0</sup>增强4-氯苯酚氧化过程中铁离子浓度变化趋势一致。刘文霞<sup>[12]</sup>也得到了类似的结论。

### 2.5 pH值的影响

在PDS投加量为1 mmol/L、BP-9初始浓度为5 mg/L条件下,采用0.1 mol/L的NaOH或HCl调节溶液pH值,分析pH值对BP-9降解效果的影响,结果如图5所示。可知,不同pH值条件下,降解BP-9的反应速率常数随着pH值的增加而减小,且酸性条件下BP-9的去除效果明显高于中性和碱性条件。在不同pH值条件下,自由基的数量是不一样的,酸性环境中,反应体系中H<sup>+</sup>与S<sub>2</sub>O<sub>8</sub><sup>2-</sup>反应生成HS<sub>2</sub>O<sub>8</sub><sup>-</sup>,HS<sub>2</sub>O<sub>8</sub><sup>-</sup>进一步生成更多的SO<sub>4</sub><sup>·-</sup>,因而在酸性条件下具有更好的降解效果。pH值为11的强碱性环境中,·OH为主要自由基,但活性自

由基的浓度较低,导致了降解效果较差。

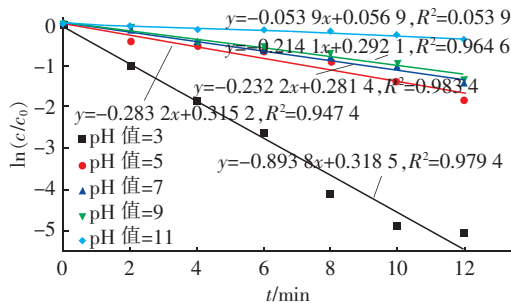


图5 pH值对BP-9降解效果的影响

Fig. 5 Effect of pH values on BP-9 degradation

## 2.6 阴离子的影响

水体中往往存在大量阴离子,如 $\text{Cl}^-$ 、 $\text{CO}_3^{2-}$ 、 $\text{HCO}_3^-$ 、 $\text{SO}_4^{2-}$ 等<sup>[13]</sup>。在BP-9初始浓度为5 mg/L、PDS投加量为1 mmol/L条件下,分析 $\text{Cl}^-$ 、 $\text{CO}_3^{2-}$ 、 $\text{HCO}_3^-$ 、 $\text{SO}_4^{2-}$ (投加量均为1 mmol/L)对BP-9降解效果的影响,结果如图6所示。

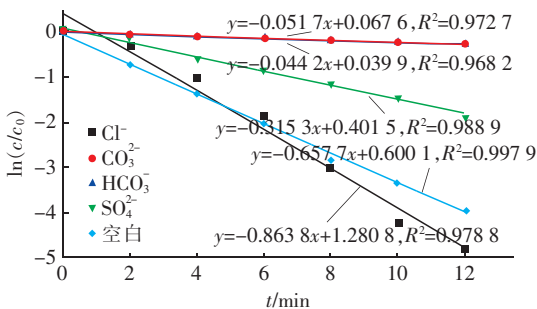


图6 阴离子对BP-9降解效果的影响

Fig. 6 Effect of different anions on BP-9 degradation

从图6可以看出,不同阴离子对BP-9降解效果的影响是不同的。不投加任何阴离子时反应速率常数为 $0.6577 \text{ min}^{-1}$ ,投加 $\text{Cl}^-$ 时反应速率常数为 $0.8638 \text{ min}^{-1}$ ,说明反应体系中氯离子对降解反应速率影响较小。而投加 $\text{HCO}_3^-$ 和 $\text{CO}_3^{2-}$ 后,BP-9降解的反应速率常数分别为 $0.0442$ 与 $0.0517 \text{ min}^{-1}$ ,可见 $\text{HCO}_3^-$ 和 $\text{CO}_3^{2-}$ 对零价铁活化过硫酸钠降解BP-9的抑制作用明显,这可能是由于反应体系中 $\text{HCO}_3^-$ 和 $\text{CO}_3^{2-}$ 的存在会增加溶液中 $\text{OH}^-$ 的浓度, $\text{OH}^-$ 与 $\text{Fe}^{3+}$ 反应生成 $\text{Fe}(\text{OH})_3$ ,从而使反应体系中的 $\text{Fe}^{2+}$ 更多地转化成 $\text{Fe}^{3+}$ ,抑制了 $\text{SO}_4^{2-}\cdot$ 的生成,对降解反应表现出抑制作用。 $\text{SO}_4^{2-}\cdot$ 的存在也会抑制反应体系中 $\text{SO}_4^{2-}\cdot$ 的生成,这是由于 $\text{SO}_4^{2-}$ 会与 $\text{SO}_4^{2-}\cdot$ 反应生成催化活性较低的 $\text{S}_2\text{O}_8^{2-}\cdot$ <sup>[14]</sup>,但相比于 $\text{CO}_3^{2-}$ 和 $\text{HCO}_3^-$ ,其抑制作用不明显。

## 2.7 发光细菌毒性测试

BP-9降解过程中,发光细菌的相对抑制率如图7所示。可以看出,反应开始前BP-9溶液对发光细菌的相对抑制率为53.7%,在反应前4 min,随着BP-9浓度的降低,相对抑制率随着时间的延长稍有增加,4 min时达到74.9%。经过12 min的降解,基本去除了水中的BP-9,但此时溶液对发光细菌的抑制率为66.4%,说明 $\text{Fe}^0/\text{PDS}$ 工艺在降解BP-9过程中形成的中间物质毒性可能不低于BP-9,因此BP-9的降解并不意味着生态风险的降低。

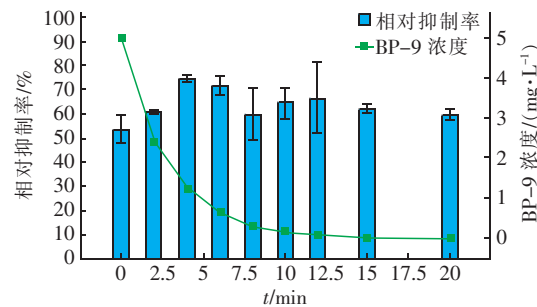


图7 发光细菌抑制率的变化

Fig. 7 Change of bioluminescence inhibition rate

## 3 结论

①  $\text{Fe}^0/\text{PDS}$ 工艺降解BP-9的过程符合一级反应动力学,且去除效果优于单一 $\text{Fe}^0$ 和单一PDS工艺。

② 溶液中存在的 $\text{Cl}^-$ 、 $\text{CO}_3^{2-}$ 、 $\text{HCO}_3^-$ 、 $\text{SO}_4^{2-}$ 等阴离子均能抑制BP-9的降解,且 $\text{CO}_3^{2-}$ 和 $\text{HCO}_3^-$ 的抑制作用较为明显。

③  $\text{Fe}^0/\text{PDS}$ 工艺降解BP-9过程中生成的中间产物的毒性并不比BP-9低,因此BP-9的降解并不意味着生态风险的降低。

## 参考文献:

- [1] 刘辉. 典型二苯甲酮类紫外防晒剂的毒性效应与两种氧化降解机理研究[D]. 南京:南京大学,2015.
- Liu Hui. Study on the Toxicities and Two Oxidation Degradation Mechanisms of Typical Benzophenone-type UV Filters[D]. Nanjing: Nanjing University, 2015 (in Chinese).
- [2] 刘奇. 二苯甲酮类紫外防晒剂的氯化转化及毒性评价[D]. 兰州:兰州理工大学,2013.
- Liu Qi. Chlorinated Transformation and Toxicity Assessment of Benzophenones-type UV Filters[D]. Lanzhou:

- Lanzhou University of Technology, 2013 (in Chinese).
- [3] Zucchi S, Blüthgen N, Ieronimo A, et al. The UV-absorber benzophenone-4 alters transcripts of genes involved in hormonal pathways in zebrafish (*Danio rerio*) eleuthero-embryos and adult males [J]. *Toxicol Appl Pharmacol*, 2011, 250(2): 137–146.
- [4] Lee Y C, Lo S L, Chiueh P T, et al. Microwave-hydrothermal decomposition of perfluoroctanoic acid in water by iron-activated persulfate oxidation [J]. *Water Res*, 2010, 44(3): 886–892.
- [5] 杨世迎, 马楠, 王静, 等. 零价铁-过二硫酸盐连续运行体系去除水中硝基苯[J]. 环境科学学报, 2014, 34(4): 920–924.  
Yang Shiying, Ma Nan, Wang Jing, et al. Degradation of nitrobenzene in aqueous solution by zero-valent iron/persulfate continuous operation system [J]. *Acta Scientiae Circumstantiae*, 2014, 34(4): 920–924 (in Chinese).
- [6] He X X, Cruz A A D L, O'shea K E, et al. Kinetics and mechanisms of cylindrospermopsin destruction by sulfate radical-based advanced oxidation processes [J]. *Water Res*, 2014, 63: 168–178.
- [7] Gerber A, Krause M, Groneberg D. Particulate matter: short-term but high-impact exposure at public gathering in Germany [J]. *Thorax*, 2014, 69(10): 954–955.
- [8] Salari D, Niaezi A, Aber S, et al. The photooxidative destruction of C. I. Basic Yellow 2 using UV/S<sub>2</sub>O<sub>8</sub><sup>2-</sup> process in a rectangular continuous photoreactor [J]. *J Hazard Mater*, 2009, 166(1): 61–66.
- [9] 郭洪光, 高乃云, 张永吉, 等. 水中环丙沙星的UV及UV/H<sub>2</sub>O<sub>2</sub>光化学降解 [J]. 沈阳工业大学学报, 2011, 33(4): 468–475.  
Guo Hongguang, Gao Naiyun, Zhang Yongji, et al. UV and UV/H<sub>2</sub>O<sub>2</sub> photochemical degradation of ciprofloxacin in aqueous solution [J]. *Journal of Shenyang University of Technology*, 2011, 33(4): 468–475 (in Chinese).
- [10] 谢晓芳. 基于过硫酸盐活化硫酸自由基高级氧化技术降解废水中苯胺的研究 [D]. 广州: 华南理工大学, 2012.  
Xie Xiaofang. Degradation of Aniline in Waste Water with Sulfate Radical Advanced Oxidation Technology Based on Activated Persulfate [D]. Guangzhou: South China University of Technology, 2012 (in Chinese).
- [11] Zhao J Y, Zhang Y B, Xie Q, et al. Enhanced oxidation of 4-chlorophenol using sulfate radicals generated from zero-valent iron and peroxydisulfate at ambient temperature [J]. *Sep Purif Technol*, 2010, 71(3): 302–307.
- [12] 刘文霞. 硫酸根对零价铁降解 1,1,1-三氯乙烷的影响 [D]. 杭州: 浙江大学, 2010.  
Liu Wenxia. Effect of Sulfate on 1,1,1-Trichloroethane Degradation by Zero-valent Iron [D]. Hangzhou: Zhejiang University, 2010 (in Chinese).
- [13] Jia D M, Li Y J, Shang X X, et al. Iron-impregnated weakly basic resin for the removal of 2-naphthalenesulfonic acid from aqueous solution [J]. *J Chem Eng Data*, 2011, 56(10): 3881–3889.
- [14] 徐朋飞, 郭怡秦, 王光辉, 等. 紫外活化过硫酸盐对甲基橙脱色处理实验研究 [J]. 环境工程, 2017, 35(11): 58–61.  
Xu Pengfei, Guo Yiqin, Wang Guanghui, et al. Experimental study on UV-activated persulfate for decolorization of methyl orange wastewater [J]. *Environmental Engineering*, 2017, 35(11): 58–61 (in Chinese).



**作者简介:**徐彬焜(1992-),男,江苏盐城人,硕士研究生,主要研究方向为水污染控制与治理。

**E-mail:**982156005@qq.com

**收稿日期:**2018-04-12